

京都大学 大学院 西原 靖  
 京都大学 工学部 富 昭治郎  
 京都大学 工学部 太田 有樹

## 1. まえがき

設計上必要となる土質パラメータを充分に求めるには多くの時間と手間を要する。したがって従来から、中  $K_0$ ,  $C_p$  や  $C_c$ ,  $C_s$  などの工学的性質を土の物理的性質たとえば  $PI$ ,  $w_L$ ,  $w_P$  などに関係づけようとする試みがなされれている。これらの定数のかなりとくに、土の塑性的性質を表わす指標として  $PI$  がよく用いられており、Kenny (1959) の  $\phi'$  と  $PI$  の関係や巣位置  $C_p$  値と  $PI$  に関する Skempton & Bjerrum の関係はよく知られています。しかし多くの相関関係の多くは対象とする 2 つの定数のみに注目したものであり、他の工学定数との関連あるいはいろいろな土に対する一般性には疑問が残る。本報告では粘土分 ( $2\mu$  以下) の含有量と活性度 (Activity) に注目し、土の力学的性質として  $\phi'$  と  $K_0$ 、変形特性としての  $C_c$ ,  $C_s$  との関係について若干の考察を加えた。

2. 粘土含有量と  $\phi'$ ,  $K_0$  との関係

$\phi'$  と塑性指数  $PI$  の関係に関しては Kenny をはじめいくつか報告されているが、過去に発表されているデータをもとに  $\phi'$  と  $PI$  をプロットしてみると Fig. 1 のようにガタリのばらつきがみられ、一意的な関係は見受けられない。なお図中の破線は Kenny が報告している関係を示したものである。一方、Borowicka (1965) は同じ粘土の粒度調整を行ひ、 $\phi'$  と粘土分 ( $2\mu$  以下) 含有量との間に強い相関関係があり、粘土含有量が 40~50% までは粘土含有量に反比例し、粘土含有量が 40~50% を越えると  $\phi'$  はほとんど一定となるという報告をしている。そこで、Fig. 1 のデータを粘土含有量に対してプロットしながら Fig. 2 のようになり、Borowicka の結果と同様の傾向を示してある。Skempton (1953) によれば同一粘土では粘土含有量と塑性指数との間に

$$PI = Ac \cdot C_f \quad (1)$$

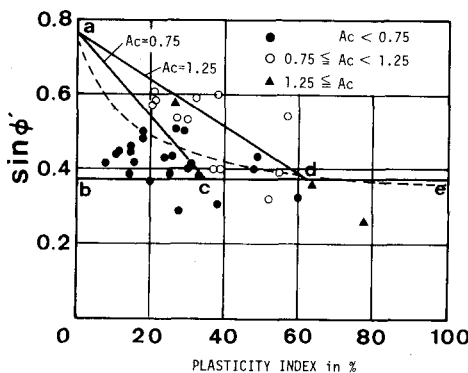
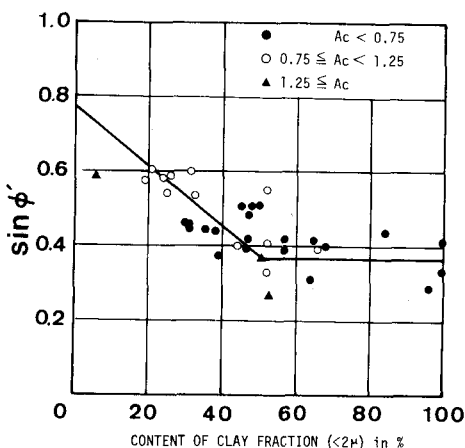
$(C_f: \text{粘土含有量})$

の関係がある。ここに  $Ac$  は活性度 (Activity) と呼ばれ、土の種類によって決まる定数である。Fig. 2 によれば活性度の違いながら粘土の種類の違いによらず  $\phi'$  と粘土含有量の間に強い相関が見られる。ここでは、この関係を簡単に

$$\left. \begin{aligned} \sin \phi' &= 0.77 - 0.008 C_f \quad (0 \leq C_f \leq 50) \\ \sin \phi' &= 0.37 \quad (C_f > 50) \end{aligned} \right\} \quad (2)$$

とおいてみる。式(1)を式(2)に代入すると、

$$\left. \begin{aligned} \sin \phi' &= 0.77 - 0.008 PI / Ac & 0 \leq PI \leq 50 Ac \\ \sin \phi' &= 0.37 & PI > 50 Ac \end{aligned} \right\} \quad (3)$$

Fig. 1  $\phi'$  と塑性指数の関係Fig. 2  $\phi'$  と粘土分含有量の関係

が得られる。Skempton は  $A_c$  の値として 0.75, 1.25 を基準として土を分類してあるので、 $A_c = 0.75, 1.25$  に対して式(3)を示すと Fig. 1 の実線のようになる。Fig. 1 は、たとえば  $0.75 \leq A_c < 1.25$  の範囲の土が  $a, b, c$  の領域および線  $d, e$  上にあることを示してあるが、同図によれば実験値はそれぞれの  $A_c$  の値に対応する領域に集中していることがわかる。

次に  $\sin \phi'$  と静止土圧係数  $K_0$  との関係をプロットすると Fig. 3 に示すようだ、 $A_c$  によらずよく知られた Jaky の式、

$$K_0 = 1 - \sin \phi' \quad (4)$$

の関係を満足してあるように思われる。式(3)を式(4)に代入すれば塑性指數と  $K_0$  の関係が得られる。Fig. 4 に示すようになる。Fig. 4 においても、各実験値は  $A_c$  の値に応じてそれぞれの領域に分かれていることが見受けられる。

### 3. $C_c, C_s$ と粘土含有量の関係

圧縮指数  $C_c$  に関しては主に液性限界、初期間隙比、自然含水比との関係が数多く提案されてあるが、膨潤指数  $C_s$  に関しての報告はほとんど見受けられない。その理由はおもに  $e \sim \log P$  関係での膨潤線の非線形性にあると思われる。したがってここでは一応の尺度として等方圧密試験での膨潤線の開始点と過圧密比 10 の点を結ぶ直線の傾きを  $C_s$  とし粘土含有量に対してプロットしてみると Fig. 5 に示すようになり、 $C_s$  と粘土含有量は比例関係にあるように見受けられる。粘土の圧縮が堆積過程のすべりと構造骨格の変形によるものと考えると、粒子のすべりは塑性的なものであるから、除荷時の膨潤は主に構造骨格の弹性回復に依存すると考えられる。したがって構造骨格を形成する微小粒子の量が膨潤特性を支配する大きさを要因とするところだと考えられる。Fig. 5 には  $C_c$  も同時にプロットしてあるが、 $C_c$  も粘土含有量が増えたときに大きくなる傾向が見られる。

### 4. あとがき

本報では過去に発表されたデータを整理し、いくつも粘土含有量に注目して土の工学的性質との関係を調べ、粘土含有量が工学的性質と密接な関係にあることを示した。これら結果をみると、他の工学定数たとえば  $w_L, e_0$ 、液性指数なども考え合わせて土の諸特性の一般的な相互関係を明らかにすることができる可能性を示唆しているように思われる。

### 参考文献

- Borowicka (1965) : 6th ICSMFE, Canada, Vol. 1, 175-178
- Kenny (1959) : Proc. ASCE, Vol. 85, SM3, 67-79
- Skempton (1953) : 3rd ICSMFE, Switzerland, Vol. 1, 57-61

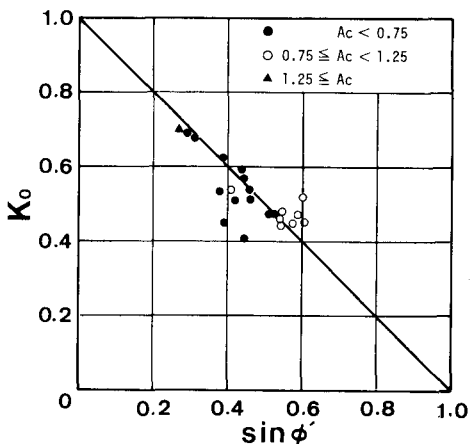


Fig. 3  $\phi'$  と  $K_0$  の関係

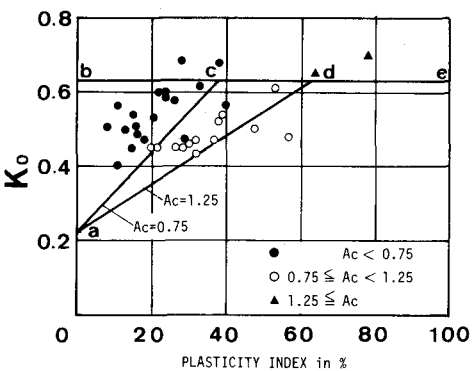


Fig. 4  $K_0$  と塑性指數の関係

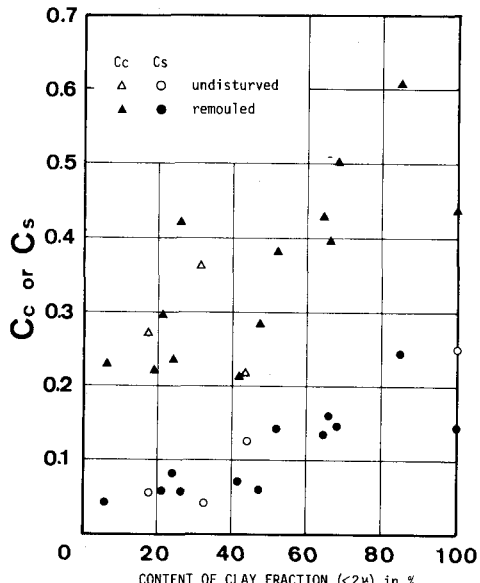


Fig. 5  $C_c, C_s$  と粘土含有量の関係